

3. Trägheitstensor

- Im Beispiel der rollenden Scheibe hängt der Drall linear von der Winkelgeschwindigkeit ab.
- Bei der Berechnung des Dralls treten Integrale über die Geometrie des starren Körpers auf.
- Es soll nun allgemein gezeigt werden, dass zwischen dem Vektor der Winkelgeschwindigkeit und dem Drallvektor ein linearer Zusammenhang besteht.
- Dieser lineare Zusammenhang wird durch den Trägheitstensor beschrieben.

3. Trägheitstensor

3.1 Definition

3.2 Satz von Steiner

3.3 Koordinatentransformation

3.4 Kinetische Energie

3.5 Hauptachsen

3.1 Definition

- Definition des Trägheitstensors:

- Der Drall ist definiert durch $\mathbf{L}_B = \int_K (\mathbf{r}_{BP} \times \mathbf{v}_P) dm$.
- Mit $\mathbf{v}_P = \mathbf{v}_B + \boldsymbol{\omega} \times \mathbf{r}_{BP}$ folgt:

$$\begin{aligned}\mathbf{L}_B &= \int_K \mathbf{r}_{BP} dm \times \mathbf{v}_B + \int_K \mathbf{r}_{BP} \times (\boldsymbol{\omega} \times \mathbf{r}_{BP}) dm \\ &= m \mathbf{r}_{BS} \times \mathbf{v}_B + \int_K \mathbf{r}_{BP} \times (\boldsymbol{\omega} \times \mathbf{r}_{BP}) dm\end{aligned}$$

- Diese Formel zeigt, dass zwischen Drall und Winkelgeschwindigkeit ein linearer Zusammenhang besteht:

$$\mathbf{L}_B = m \mathbf{r}_{BS} \times \mathbf{v}_B + \mathbf{J}_B \boldsymbol{\omega}$$

- Der Tensor \mathbf{J}_B wird als Trägheitstensor bezeichnet.

3.1 Definition

- Wenn als Bezugspunkt der Schwerpunkt gewählt wird oder wenn die Geschwindigkeit \mathbf{v}_B des Bezugspunktes null ist, verschwindet der erste Summand:

$$\mathbf{L}_S = \mathbf{J}_S \boldsymbol{\omega} \quad \text{und} \quad \mathbf{L}_B = \mathbf{J}_B \boldsymbol{\omega} \quad \text{für} \quad \mathbf{v}_B = \mathbf{0}$$

- Komponenten im körperfesten System $B\xi\eta\zeta$:
 - Mit der allgemein gültigen Beziehung

$$\mathbf{a} \times (\mathbf{b} \times \mathbf{c}) = \mathbf{b} (\mathbf{a} \cdot \mathbf{c}) - \mathbf{c} (\mathbf{a} \cdot \mathbf{b})$$

folgt:

$$\mathbf{J}_B \boldsymbol{\omega} = \int_K \mathbf{r}_{BP} \times (\boldsymbol{\omega} \times \mathbf{r}_{BP}) dm = \int_K \left[\boldsymbol{\omega} (\mathbf{r}_{BP} \cdot \mathbf{r}_{BP}) - \mathbf{r}_{BP} (\mathbf{r}_{BP} \cdot \boldsymbol{\omega}) \right] dm$$

3.1 Definition

- Im körperfesten Koordinatensystem gilt:

$$\mathbf{r}_{BP} = \xi \mathbf{b}_\xi + \eta \mathbf{b}_\eta + \zeta \mathbf{b}_\zeta, \quad \boldsymbol{\omega} = \omega_\xi \mathbf{b}_\xi + \omega_\eta \mathbf{b}_\eta + \omega_\zeta \mathbf{b}_\zeta$$

- Damit berechnet sich der erste Summand zu

$$\begin{aligned} \int_K \boldsymbol{\omega} (\mathbf{r}_{BP} \cdot \mathbf{r}_{BP}) dm &= \boldsymbol{\omega} \int_K (\xi^2 + \eta^2 + \zeta^2) dm \\ &= \omega_\xi \int_K (\xi^2 + \eta^2 + \zeta^2) dm \mathbf{b}_\xi + \omega_\eta \int_K (\xi^2 + \eta^2 + \zeta^2) dm \mathbf{b}_\eta \\ &\quad + \omega_\zeta \int_K (\xi^2 + \eta^2 + \zeta^2) dm \mathbf{b}_\zeta \end{aligned}$$

3.1 Definition

- Für den zweiten Summanden folgt

$$\begin{aligned}\int_K \mathbf{r}_{BP} (\mathbf{r}_{BP} \cdot \boldsymbol{\omega}) dm &= \int_K \mathbf{r}_{BP} (\xi \omega_\xi + \eta \omega_\eta + \zeta \omega_\zeta) dm \\ &= \int_K (\xi^2 \omega_\xi + \xi \eta \omega_\eta + \xi \zeta \omega_\zeta) dm \mathbf{b}_\xi + \int_K (\eta \xi \omega_\xi + \eta^2 \omega_\eta + \eta \zeta \omega_\zeta) dm \mathbf{b}_\eta \\ &\quad + \int_K (\zeta \xi \omega_\xi + \zeta \eta \omega_\eta + \zeta^2 \omega_\zeta) dm \mathbf{b}_\zeta\end{aligned}$$

- Damit ist gezeigt:

$$\begin{aligned}\mathbf{J}_B \boldsymbol{\omega} &= \left[\int_K (\eta^2 + \zeta^2) dm \omega_\xi - \int_K \xi \eta dm \omega_\eta - \int_K \xi \zeta dm \omega_\zeta \right] \mathbf{b}_\xi \\ &\quad + \left[- \int_K \eta \xi dm \omega_\xi + \int_K (\xi^2 + \zeta^2) dm \omega_\eta - \int_K \eta \zeta dm \omega_\zeta \right] \mathbf{b}_\eta \\ &\quad + \left[- \int_K \zeta \xi dm \omega_\xi - \int_K \zeta \eta dm \omega_\eta + \int_K (\xi^2 + \eta^2) dm \omega_\zeta \right] \mathbf{b}_\zeta\end{aligned}$$

3.1 Definition

- Massenträgheitsmomente:

$$J_{B\xi} = \int_K (\eta^2 + \zeta^2) dm$$

$$J_{B\eta} = \int_K (\xi^2 + \zeta^2) dm$$

$$J_{B\zeta} = \int_K (\xi^2 + \eta^2) dm$$

- Deviationsmomente:

$$J_{B\xi\eta} = J_{B\eta\xi} = - \int_K \xi \eta dm$$

$$J_{B\eta\zeta} = J_{B\zeta\eta} = - \int_K \eta \zeta dm$$

$$J_{B\xi\zeta} = J_{B\zeta\xi} = - \int_K \xi \zeta dm$$

- Die Deviationsmomente werden auch als Zentrifugalmomente bezeichnet.

3.1 Definition

- Im körperfesten Koordinatensystem $B\xi\eta\zeta$ wird der Trägheitstensor durch die Matrix

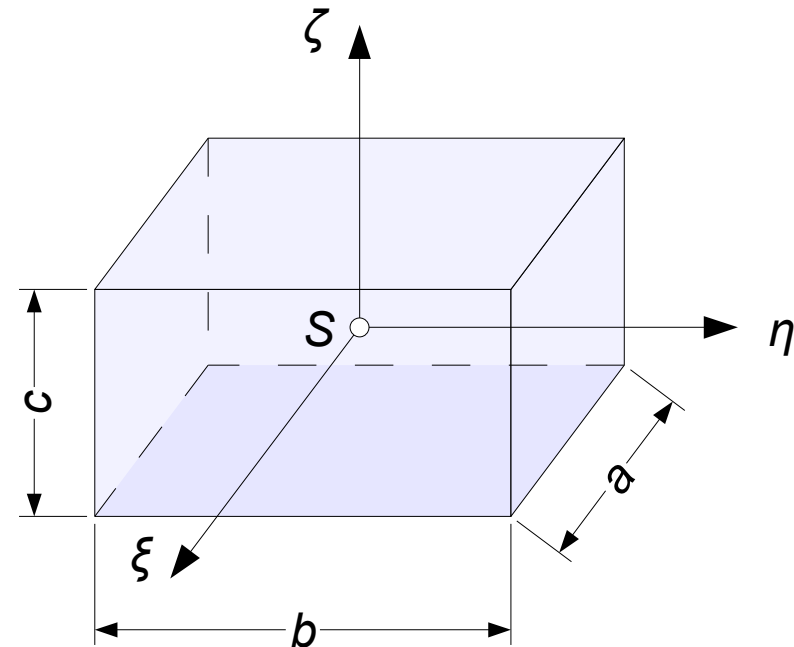
$$\left[\mathbf{J}_B \right]_B = \begin{bmatrix} J_{B\xi} & J_{B\xi\eta} & J_{B\xi\zeta} \\ J_{B\eta\xi} & J_{B\eta} & J_{B\eta\zeta} \\ J_{B\zeta\xi} & J_{B\zeta\eta} & J_{B\zeta} \end{bmatrix}$$

dargestellt.

- Die Elemente dieser Matrix hängen nur von der Geometrie des Körpers ab und nicht von der Zeit.
- Achtung: Oft werden die Deviationsmomente ohne das Minus-Zeichen definiert. Dann tritt das Minus-Zeichen in der Matrix auf.

3.1 Definition

- Beispiel: Quader
 - Gegeben:
 - Quader mit Kantenlängen a , b , c
 - Gesucht:
 - Trägheitstensor bezüglich Schwerpunkt S



Dichte $\rho = \text{const.}$

3.1 Definition

- Massenträgheitsmomente:

$$\begin{aligned} J_{S\xi} &= \int_K (\eta^2 + \zeta^2) dm = \int_V (\eta^2 + \zeta^2) \rho dV \\ &= a \rho \int_{-b/2}^{b/2} \left[\int_{-c/2}^{c/2} (\eta^2 + \zeta^2) d\zeta \right] d\eta = a \rho \int_{-b/2}^{b/2} \left[\eta^2 \zeta + \frac{1}{3} \zeta^3 \right]_{\zeta=-c/2}^{\zeta=c/2} d\eta \\ &= a \rho \int_{-b/2}^{b/2} \left(\eta^2 c + \frac{2}{3} \left(\frac{c}{2} \right)^3 \right) d\eta = a \rho \left[\frac{1}{3} \eta^3 c + \frac{2}{3 \cdot 8} c^3 \eta \right]_{\eta=-b/2}^{\eta=b/2} \\ &= a \rho \left(\frac{2}{3} \left(\frac{b}{2} \right)^3 c + \frac{1}{12} c^3 b \right) = \rho abc \cdot \frac{1}{12} (b^2 + c^2) = \underline{\underline{\frac{1}{12} m (b^2 + c^2)}} \end{aligned}$$

3.1 Definition

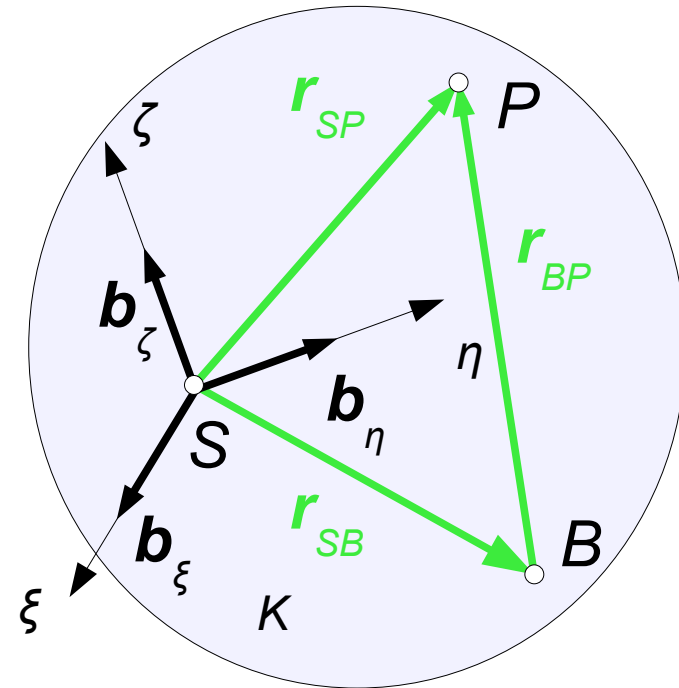
- Entsprechend folgt: $J_{S\eta} = \frac{1}{12} m(a^2 + c^2)$, $J_{S\zeta} = \frac{1}{12} m(a^2 + b^2)$
- Deviationsmomente:

$$\begin{aligned} J_{S\xi\eta} &= - \int_K \xi \eta \, dm = -\rho \int_{-c/2}^{c/2} \left[\int_{-b/2}^{b/2} \left(\int_{-a/2}^{a/2} \xi \eta \, d\xi \right) \right] d\eta \, d\zeta \\ &= -\rho \int_{-c/2}^{c/2} \left[\int_{-b/2}^{b/2} \eta \left[\frac{\xi^2}{2} \right]_{\xi=-a/2}^{\xi=a/2} d\eta \right] d\zeta \\ &= -\rho \int_{-c/2}^{c/2} \left[\int_{-b/2}^{b/2} \eta \left(\frac{a^2}{8} - \frac{a^2}{8} \right) d\eta \right] d\zeta = 0 \end{aligned}$$

- Entsprechend folgt: $J_{S\eta\zeta} = 0$, $J_{S\xi\zeta} = 0$

3.2 Satz von Steiner

- Aufgabenstellung:
 - Für viele Körper sind die Elemente des Trägheitstensors bezüglich des Schwerpunkts tabelliert.
 - Wenn sich der Körper um einen ortsfesten Punkt dreht, der nicht der Schwerpunkt ist, muss der Trägheitstensor umgerechnet werden.



3.2 Satz von Steiner

- Vektorielle Herleitung des Satzes von Steiner:
 - Der Trägheitstensor bezüglich Punkt B ist definiert durch

$$\mathbf{J}_B \boldsymbol{\omega} = \int_K \mathbf{r}_{BP} \times (\boldsymbol{\omega} \times \mathbf{r}_{BP}) dm$$

- Mit $\mathbf{r}_{BP} = \mathbf{r}_{SP} - \mathbf{r}_{SB}$ lautet der Integrand

$$\begin{aligned} \mathbf{r}_{BP} \times (\boldsymbol{\omega} \times \mathbf{r}_{BP}) &= (\mathbf{r}_{SP} - \mathbf{r}_{SB}) \times [\boldsymbol{\omega} \times (\mathbf{r}_{SP} - \mathbf{r}_{SB})] \\ &= (\mathbf{r}_{SP} - \mathbf{r}_{SB}) \times (\boldsymbol{\omega} \times \mathbf{r}_{SP} - \boldsymbol{\omega} \times \mathbf{r}_{SB}) \\ &= \mathbf{r}_{SP} \times (\boldsymbol{\omega} \times \mathbf{r}_{SP}) - \mathbf{r}_{SB} \times (\boldsymbol{\omega} \times \mathbf{r}_{SP}) - \mathbf{r}_{SP} \times (\boldsymbol{\omega} \times \mathbf{r}_{SB}) + \mathbf{r}_{SB} \times (\boldsymbol{\omega} \times \mathbf{r}_{SB}) \end{aligned}$$

3.2 Satz von Steiner

- Mit
$$\int_K \mathbf{r}_{SP} \times (\boldsymbol{\omega} \times \mathbf{r}_{SP}) dm = \mathbf{J}_S \boldsymbol{\omega}$$

und
$$\int_K \mathbf{r}_{SP} dm = \mathbf{0} \quad (\text{Schwerpunkt})$$

folgt der Satz von Steiner:

$$\mathbf{J}_B \boldsymbol{\omega} = \mathbf{J}_S \boldsymbol{\omega} + m \mathbf{r}_{SB} \times (\boldsymbol{\omega} \times \mathbf{r}_{SB})$$

3.2 Satz von Steiner

- Komponenten des Trägheitstensors bezüglich B :
 - Für das doppelte Vektorprodukt gilt

$$\mathbf{r}_{SB} \times (\boldsymbol{\omega} \times \mathbf{r}_{SB}) = \boldsymbol{\omega} (\mathbf{r}_{SB} \cdot \mathbf{r}_{SB}) - \mathbf{r}_{SB} (\mathbf{r}_{SB} \cdot \boldsymbol{\omega})$$

- Mit $\mathbf{r}_{SB} = \xi_B \mathbf{b}_\xi + \eta_B \mathbf{b}_\eta + \zeta_B \mathbf{b}_\zeta$

folgt wie bei der Herleitung des Trägheitstensors:

$$\begin{aligned} \mathbf{r}_{SB} \times (\boldsymbol{\omega} \times \mathbf{r}_{SB}) &= \left[(\eta_B^2 + \zeta_B^2) \omega_\xi - \xi_B \eta_B \omega_\eta - \xi_B \zeta_B \omega_\zeta \right] \mathbf{b}_\xi \\ &+ \left[-\eta_B \xi_B \omega_\xi + (\xi_B^2 + \zeta_B^2) \omega_\eta - \eta_B \zeta_B \omega_\zeta \right] \mathbf{b}_\eta \\ &+ \left[-\zeta_B \xi_B \omega_\xi - \zeta_B \eta_B \omega_\eta + (\xi_B^2 + \eta_B^2) \omega_\zeta \right] \mathbf{b}_\zeta \end{aligned}$$

3.2 Satz von Steiner

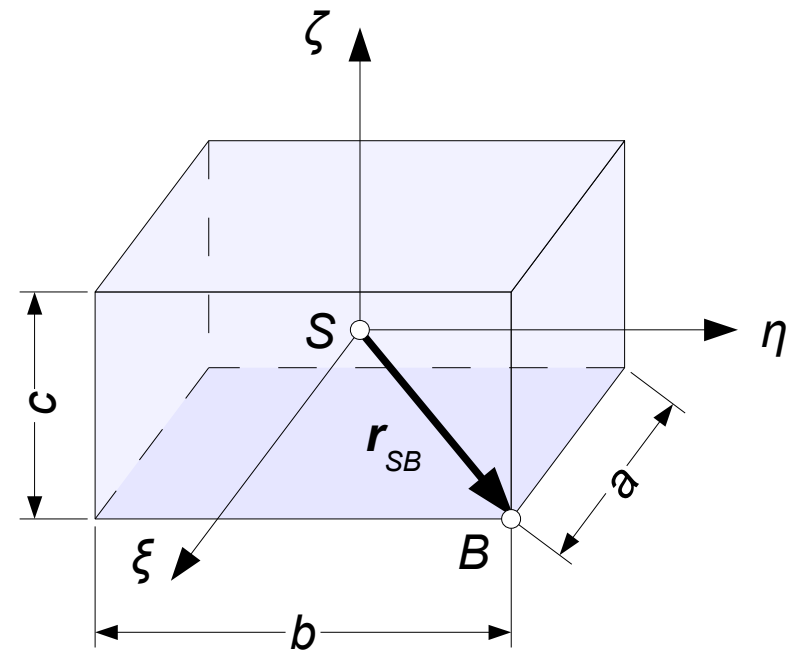
- Ergebnis:

$$\begin{aligned} J_{B\xi} &= J_{S\xi} + m(\eta_B^2 + \zeta_B^2) \\ J_{B\eta} &= J_{S\eta} + m(\xi_B^2 + \zeta_B^2) \\ J_{B\zeta} &= J_{S\zeta} + m(\xi_B^2 + \eta_B^2) \\ J_{B\xi\eta} &= J_{S\xi\eta} - m\xi_B\eta_B \\ J_{B\eta\zeta} &= J_{S\eta\zeta} - m\eta_B\zeta_B \\ J_{B\xi\zeta} &= J_{S\xi\zeta} - m\xi_B\zeta_B \end{aligned}$$

- (ξ_B, η_B, ζ_B) sind die Komponenten des Vektors vom Schwerpunkt S zum Bezugspunkt B im körperfesten Koordinatensystem.

3.2 Satz von Steiner

- Beispiel:
 - Gegeben:
 - Quader mit Kantenlängen a , b , c
 - Trägheitstensor bezüglich Schwerpunkt S
 - Gesucht:
 - Trägheitstensor bezüglich Punkt B



Dichte $\rho = \text{const.}$

3.2 Satz von Steiner

- Vektor vom Schwerpunkt S zum Bezugspunkt B :

$$\mathbf{r}_{SB} = \frac{a}{2} \mathbf{b}_\xi + \frac{b}{2} \mathbf{b}_\eta - \frac{c}{2} \mathbf{b}_\zeta \rightarrow \xi_B = \frac{a}{2}, \quad \eta_B = \frac{b}{2}, \quad \zeta_B = -\frac{c}{2}$$

- Massenträgheitsmomente:

$$J_{B\xi} = \frac{1}{12} (b^2 + c^2) m + \frac{1}{4} (b^2 + c^2) m = \frac{1}{3} (b^2 + c^2) m$$

$$J_{B\eta} = \frac{1}{12} (a^2 + c^2) m + \frac{1}{4} (a^2 + c^2) m = \frac{1}{3} (a^2 + c^2) m$$

$$J_{B\zeta} = \frac{1}{12} (a^2 + b^2) m + \frac{1}{4} (a^2 + b^2) m = \frac{1}{3} (a^2 + b^2) m$$

- Deviationsmomente:

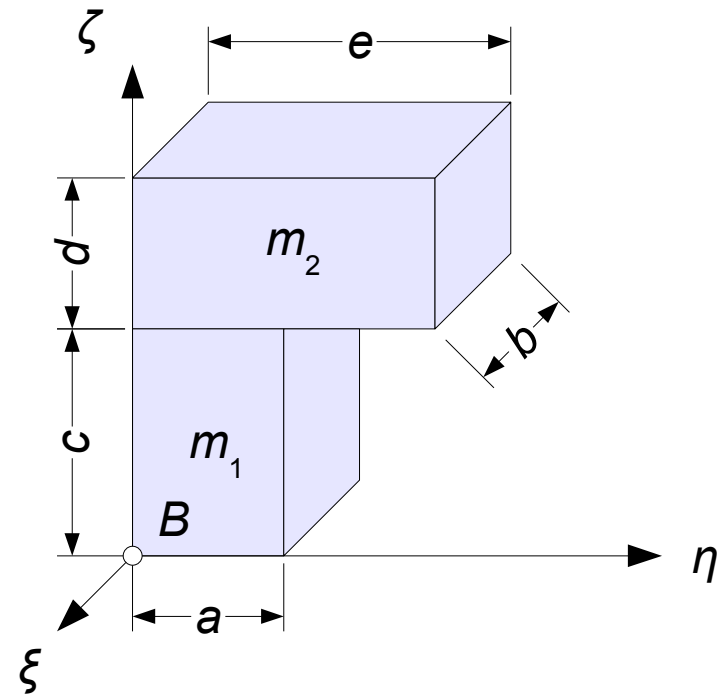
$$J_{B\xi\eta} = -\frac{1}{4} a b m, \quad J_{B\eta\zeta} = \frac{1}{4} b c m, \quad J_{B\xi\zeta} = \frac{1}{4} a c m$$

3.2 Satz von Steiner

- Zusammengesetzte Körper:
 - Der Trägheitstensor eines zusammengesetzten Körpers lässt sich berechnen, indem die tabellierten Werte für die Massenträgheitsmomente und Deviationsmomente auf den gemeinsamen Bezugspunkt umgerechnet und anschließend addiert werden.

3.2 Satz von Steiner

- Beispiel:
 - Gegeben:
 - $a = b = d = 2\text{cm}$
 - $c = e = 4\text{cm}$
 - $m_1 = m_2 = 3\text{kg}$
 - Gesucht:
 - Trägheitstensor bezüglich Punkt B



3.2 Satz von Steiner

	Körper 1	Körper 2	
ξ_B	1	1	<i>cm</i>
η_B	-1	-2	<i>cm</i>
ζ_B	-2	-5	<i>cm</i>
$J_{S\xi}$	5	5	<i>kgcm²</i>
$J_{S\eta}$	5	2	<i>kgcm²</i>
$J_{S\zeta}$	2	5	<i>kgcm²</i>
$m(\eta_B^2 + \zeta_B^2)$	15	87	<i>kgcm²</i>
$m(\xi_B^2 + \zeta_B^2)$	15	78	<i>kgcm²</i>
$m(\xi_B^2 + \eta_B^2)$	6	15	<i>kgcm²</i>

3.2 Satz von Steiner

	Körper 1	Körper 2	Gesamt	
$J_{B\xi}$	20	92	112	$kgcm^2$
$J_{B\eta}$	20	80	100	$kgcm^2$
$J_{B\zeta}$	8	20	28	$kgcm^2$
$J_{B\xi\eta}$	3	6	9	$kgcm^2$
$J_{B\eta\zeta}$	-6	-30	-36	$kgcm^2$
$J_{B\xi\zeta}$	6	15	21	$kgcm^2$

3.3 Koordinatentransformation

- Seien $B_1 = B\xi_1\eta_1\zeta_1$ und $B_2 = B\xi_2\eta_2\zeta_2$ zwei körperfeste Koordinatensysteme.
- Die Matrix $[T]_{21}$ transformiert die Koordinaten eines Vektors \mathbf{x} von System B_1 in das System B_2 :

$$[\mathbf{x}]_2 = [T]_{21}[\mathbf{x}]_1$$

- Aus $[\mathbf{L}]_2 = [T]_{21}[\mathbf{L}]_1 = [T]_{21}[\mathbf{J}]_1[\boldsymbol{\omega}]_1 = [T]_{21}[\mathbf{J}]_1[T]_{21}^T[\boldsymbol{\omega}]_2 = [\mathbf{J}]_2[\boldsymbol{\omega}]_2$

folgt:

$$[\mathbf{J}]_2 = [T]_{21}[\mathbf{J}]_1[T]_{21}^T$$

3.4 Kinetische Energie

- Herleitung:

- Betrachtet wird ein Körper, dessen Schwerpunkt sich mit der Geschwindigkeit \mathbf{v}_S bewegt und der sich mit der Winkelgeschwindigkeit $\boldsymbol{\omega}$ dreht.
- Seine kinetische Energie ist die Summe der kinetischen Energien aller Massenelemente:

$$E^K = \frac{1}{2} \int_K \mathbf{v}_P \cdot \mathbf{v}_P dm$$

- Für die Geschwindigkeit eines beliebigen Körperpunktes gilt:

$$\mathbf{v}_P = \mathbf{v}_S + \boldsymbol{\omega} \times \mathbf{r}_{SP}$$

3.4 Kinetische Energie

- Mit
$$\begin{aligned}\mathbf{v}_P \cdot \mathbf{v}_P &= (\mathbf{v}_S + \boldsymbol{\omega} \times \mathbf{r}_{SP}) \cdot (\mathbf{v}_S + \boldsymbol{\omega} \times \mathbf{r}_{SP}) \\ &= \mathbf{v}_S \cdot \mathbf{v}_S + 2 \mathbf{v}_S \cdot (\boldsymbol{\omega} \times \mathbf{r}_{SP}) + (\boldsymbol{\omega} \times \mathbf{r}_{SP}) \cdot (\boldsymbol{\omega} \times \mathbf{r}_{SP})\end{aligned}$$

folgt:

$$E^K = \frac{1}{2} m v_S^2 + \mathbf{v}_S \cdot \left(\boldsymbol{\omega} \times \int_K \mathbf{r}_{SP} dm \right) + \frac{1}{2} \int_K (\boldsymbol{\omega} \times \mathbf{r}_{SP}) \cdot (\boldsymbol{\omega} \times \mathbf{r}_{SP}) dm$$

- Der erste Summand auf der rechten Seite ist die kinetische Energie infolge der Geschwindigkeit \mathbf{v}_S des Schwerpunktes.
- Der zweite Summand ist wegen

$$\int_K \mathbf{r}_{SP} dm = \mathbf{r}_{SS} = \mathbf{0}$$

gleich null.

3.4 Kinetische Energie

- Mit der Lagrangeschen Identität

$$(\mathbf{a} \times \mathbf{b}) \cdot (\mathbf{c} \times \mathbf{d}) = (\mathbf{a} \cdot \mathbf{c})(\mathbf{b} \cdot \mathbf{d}) - (\mathbf{b} \cdot \mathbf{c})(\mathbf{a} \cdot \mathbf{d})$$

folgt für den dritten Summanden:

$$\begin{aligned} \int_K (\boldsymbol{\omega} \times \mathbf{r}_{SP}) \cdot (\boldsymbol{\omega} \times \mathbf{r}_{SP}) dm &= \int_K \left[(\boldsymbol{\omega} \cdot \boldsymbol{\omega})(\mathbf{r}_{SP} \cdot \mathbf{r}_{SP}) - (\mathbf{r}_{SP} \cdot \boldsymbol{\omega})(\boldsymbol{\omega} \cdot \mathbf{r}_{SP}) \right] dm \\ &= \boldsymbol{\omega} \cdot \int_K \left[\boldsymbol{\omega}(\mathbf{r}_{SP} \cdot \mathbf{r}_{SP}) - \mathbf{r}_{SP}(\mathbf{r}_{SP} \cdot \boldsymbol{\omega}) \right] dm = \boldsymbol{\omega} \cdot \mathbf{J}_S \boldsymbol{\omega} \end{aligned}$$

- Ergebnis:

- Für die kinetische Energie des starren Körpers gilt:

$$E^K = \frac{1}{2} m v_S^2 + \frac{1}{2} \boldsymbol{\omega} \cdot \mathbf{J}_S \boldsymbol{\omega}$$

3.4 Kinetische Energie

- Folgerung:
 - Da die kinetische Energie immer positiv ist und jede Drehung des Körpers mit einer kinetischen Energie verbunden ist, gilt:

$$\boldsymbol{\omega} \cdot \mathbf{J}_S \boldsymbol{\omega} > 0$$

- Der Trägheitstensor ist positiv definit.
- Koordinatendarstellung:
 - In einem körperfesten Koordinatensystem $B\xi\eta\zeta$ gilt für die kinetische Energie der Drehbewegung:

$$E^K = \frac{1}{2} [\boldsymbol{\omega}]_B^T [\mathbf{J}_S]_B [\boldsymbol{\omega}]_B$$

3.4 Kinetische Energie

- Sind $B_1 = B\xi_1\eta_1\zeta_1$ und $B_2 = B\xi_2\eta_2\zeta_2$ zwei körperfeste Koordinatensysteme, so gilt:

$$\begin{aligned} [\boldsymbol{\omega}]_1^T [\mathbf{J}_S]_1 [\boldsymbol{\omega}]_1 &= \left([\mathbf{T}]_{21}^T [\boldsymbol{\omega}]_2 \right)^T [\mathbf{J}_S]_1 [\mathbf{T}]_{21}^T [\boldsymbol{\omega}]_2 \\ &= [\boldsymbol{\omega}]_2^T [\mathbf{T}]_{21} [\mathbf{J}_S]_1 [\mathbf{T}]_{21}^T [\boldsymbol{\omega}]_2 = [\boldsymbol{\omega}]_2^T [\mathbf{J}_S]_2 [\boldsymbol{\omega}]_2 \end{aligned}$$

- Durch das Transformationsgesetz für den Trägheitstensor wird also gewährleistet, dass die kinetische Energie nicht vom Koordinatensystem abhängt.

3.5 Hauptachsen

- Definition der Hauptachsen:
 - Aus der Matrixdarstellung kann abgelesen werden, dass der Trägheitstensor symmetrisch ist.
 - Außerdem wurde gezeigt, dass der Trägheitstensor positiv definit ist.
 - Daher hat der Trägheitstensor drei reelle positive Eigenwerte J_1 , J_2 , und J_3 , die als Hauptträgheitsmomente bezeichnet werden.
 - Die zugehörigen Eigenvektoren \mathbf{b}_1 , \mathbf{b}_2 und \mathbf{b}_3 stehen senkrecht aufeinander: $\mathbf{b}_1 \cdot \mathbf{b}_2 = 0$, $\mathbf{b}_2 \cdot \mathbf{b}_3 = 0$, $\mathbf{b}_1 \cdot \mathbf{b}_3 = 0$

3.5 Hauptachsen

- Die Eigenvektoren können so normiert werden, dass sie Einheitsvektoren sind.
- Das dadurch definierte Koordinatensystem $H = B123$ wird als Hauptachsensystem bezeichnet. Die Koordinatenachsen heißen Hauptachsen.
- Im Hauptachsensystem wird der Trägheitstensor durch die Diagonalmatrix

$$[\mathbf{J}_S]_H = \begin{bmatrix} J_1 & 0 & 0 \\ 0 & J_2 & 0 \\ 0 & 0 & J_3 \end{bmatrix}$$

dargestellt.

3.5 Hauptachsen

- Berechnung der Hauptachsen:
 - Die Hauptträgheitsmomente sind die Nullstellen der charakteristischen Gleichung

$$\det\left([\mathbf{J}_S]_B - J[\mathbf{I}]_B\right) = 0$$

- Das ist eine kubische Gleichung $-J^3 + aJ^2 + bJ + c = 0$ mit den Koeffizienten

$$a = J_{S\xi} + J_{S\eta} + J_{S\zeta} = \text{sp}(\mathbf{J}_S)$$

$$b = J_{S\eta\zeta}^2 + J_{S\xi\zeta}^2 + J_{S\xi\eta}^2 - J_{S\xi}J_{S\eta} - J_{S\eta}J_{S\zeta} - J_{S\xi}J_{S\zeta}$$

$$c = \det(\mathbf{J}_S)$$

3.5 Hauptachsen

- Wenn die Hauptträgheitsmomente bekannt sind, können die Hauptachsen aus den linearen Gleichungssystemen

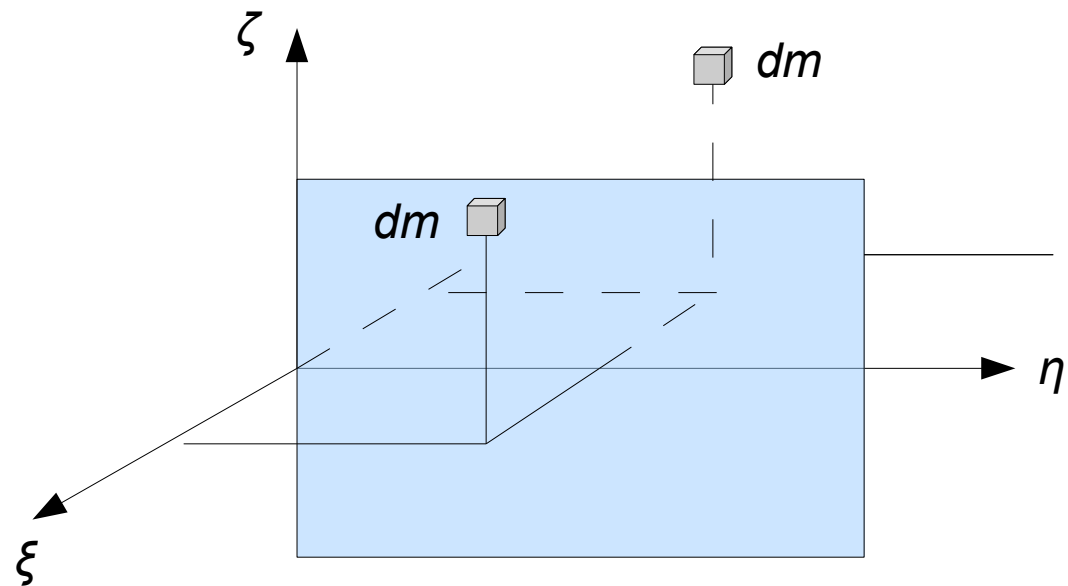
$$\left([\mathbf{J}_S]_B - J_k [\mathbf{I}]_B \right) [\mathbf{b}_k]_B = [\mathbf{0}]_B, \quad k = 1, 2, 3$$

berechnet werden.

- In der Praxis werden Hauptträgheitsmomente und Hauptachsen in der Regel mithilfe eines numerischen Verfahrens zur Lösung von symmetrischen Eigenwertproblemen ermittelt.
- Gebräuchliche Verfahren sind z.B. das Verfahren von Jacobi oder die Vektoriteration.

3.5 Hauptachsen

- Symmetrische Körper:
 - Hat ein Körper eine Symmetrieebene, so kann eine Hauptachse sofort angegeben werden.
 - Symmetrie bezüglich $\eta\zeta$ - Ebene:



3.5 Hauptachsen

- Zu jedem Massenelement an der Stelle (ξ, η, ζ) gibt es ein entsprechendes Massenelement an der Stelle $(-\xi, \eta, \zeta)$.

- Also gilt:

$$J_{\xi\eta} = -\int_K \xi\eta \, dm = 0, \quad J_{\xi\zeta} = -\int_K \xi\zeta \, dm = 0$$

- Entsprechend folgt für Symmetrie bezüglich der $\xi\eta$ - Ebene

$$J_{\eta\zeta} = -\int_K \eta\zeta \, dm = 0, \quad J_{\xi\zeta} = -\int_K \xi\zeta \, dm = 0$$

und für Symmetrie bezüglich der $\xi\zeta$ - Ebene:

$$J_{\xi\eta} = -\int_K \xi\eta \, dm = 0, \quad J_{\eta\zeta} = -\int_K \eta\zeta \, dm = 0$$

3.5 Hauptachsen

Symmetrieebene	Trägheitstensor	Hauptachse
$\xi\eta$	$\begin{bmatrix} J_\xi & J_{\xi\eta} & 0 \\ J_{\xi\eta} & J_\eta & 0 \\ 0 & 0 & J_\zeta \end{bmatrix}$	ζ -Achse
$\eta\zeta$	$\begin{bmatrix} J_\xi & 0 & 0 \\ 0 & J_\eta & J_{\eta\zeta} \\ 0 & J_{\eta\zeta} & J_\zeta \end{bmatrix}$	ξ -Achse
$\xi\zeta$	$\begin{bmatrix} J_\xi & 0 & J_{\xi\zeta} \\ 0 & J_\eta & 0 \\ J_{\xi\zeta} & 0 & J_\zeta \end{bmatrix}$	η -Achse

3.5 Hauptachsen

- Die übrigen beiden Hauptträgheitsmomente sind Nullstellen einer quadratischen Gleichung.
- Bei Symmetrie bezüglich der $\xi\eta$ -Ebene lautet die charakteristische Gleichung z.B.

$$\begin{aligned} 0 &= \begin{vmatrix} J_\xi - J & J_{\xi\eta} & 0 \\ J_{\xi\eta} & J_\eta - J & 0 \\ 0 & 0 & J_\zeta - J \end{vmatrix} = (J_\zeta - J) \left[(J_\xi - J)(J_\eta - J) - J_{\xi\eta}^2 \right] \\ &= (J_\zeta - J) \left[J^2 - (J_\xi + J_\eta)J + J_\xi J_\eta - J_{\xi\eta}^2 \right] \end{aligned}$$

- Sie hat die Lösungen $J_1 = J_\zeta$ und

$$J_{2/3} = \frac{J_\xi + J_\eta}{2} \pm \sqrt{\left(\frac{J_\xi - J_\eta}{2}\right)^2 + J_{\xi\eta}^2}$$

3.5 Hauptachsen

- Rotationssymmetrische Körper:
 - Bei einem rotationssymmetrischen Körper ist die Rotationsachse eine Hauptachse.
 - In der Ebene senkrecht zur Rotationsachse ist jede Achse eine Hauptachse. Es können zwei senkrechte Hauptachsen beliebig gewählt werden.
 - Die Massenträgheitsmomente bezüglich der beiden zur Symmetrieachse senkrechten Hauptachsen sind gleich groß.

3.5 Hauptachsen

- Kugelsymmetrische Körper:
 - Bei einem kugelsymmetrischen Körper sind alle Achsen Hauptachsen.
 - Es können drei senkrechte Hauptachsen beliebig gewählt werden.
 - Alle drei Hauptträgheitsmomente sind gleich groß.